

立命館大学理工学部	学生員	○脇根 敦真
立命館大学理工学部	国際会員	早川 清
大阪大学大学院	国際会員	鍋島 康之
内外エンジニアリング(株)		熊川 健二
内外エンジニアリング(株)		川端 信之

1. はじめに

近年交通網の整備に伴って、主に都市域では、騒音や振動が沿道環境の悪化に大きく影響を及ぼしている。そのような背景から、国民の環境問題への関心は年々高まっているが、その中でも、本研究で扱う振動問題に対する予測や対策は、難しく、さらなる振動伝播メカニズムの解明が必要である。そこで、本研究では、高架橋道路から伝播する振動特性の把握を主目的とした。

2. 調査概要

今回、調査を行った測定位置と周辺状況を、図1及び図2に示す。また、対象橋脚の構造形式を表1に示す。

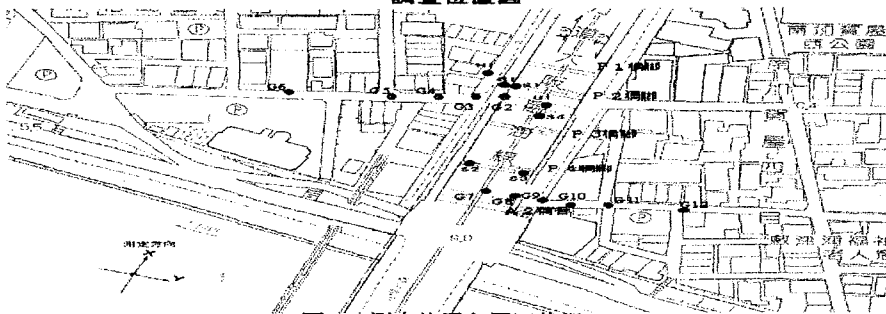


図1 測定位置と周辺状況

対象道路橋は、河川を跨ぐ橋梁への取り付け高架道路橋で、本路線は大型車の通過が非常に多い路線である。P2橋脚からP4橋脚にかけて勾配がついており、橋脚の長さが異なっている。側道は一方通行の道路で、通過車両はほとんどない状況である。

表1 CASE 1における橋梁形式

橋長・幅員	全長99.0m-22.0m
支間割と上部工形式	A1橋台～P2橋脚：PC径間1桁橋 P2橋脚～P3橋脚：鋼床版単純鋼析 P3橋脚～A2橋台：2径間連続合成鋼析
下部工形式	コンクリート橋脚(橋台)
基礎工形式	場所打ち杭Φ1000

3. 振動レベル分析 1,2)

L_{10} 値：振動規制法で定められた、道路交通振動を評価する指標で、計測された振動レベルデータを5秒間隔で100個読み取ったものの、80パーセントレンジの上端値をとることと定められており、振動レベルの代表値とされている。具体的には、それら100個のデータから累積度数分布を作成して、上・下端値10%を切り取った時の上端値のことである。 $(L_5$ 値の時は90パーセントレンジ)

ピーク値：振動レベルレコーダーに出力された振動レベルの卓越部分の最大値とした。

測点	位置
G1	P2～P3橋脚間通路
G'1	西側P2橋脚直下路肩
G2～G6	西側道路
G7～G12	東側道路
H1	対象家屋
S1	西側P2橋脚
S2	西側P4橋脚
S3	東側P4橋脚
S4	P2～P3橋脚間上部工

図2 測定位置

L ave 値：振動レベルレコーダーに出力された振動レベルの卓越部分の平均値とした。

L min 値：振動レベルレコーダーに出力された振動レベルの卓越部分の最小値とした。

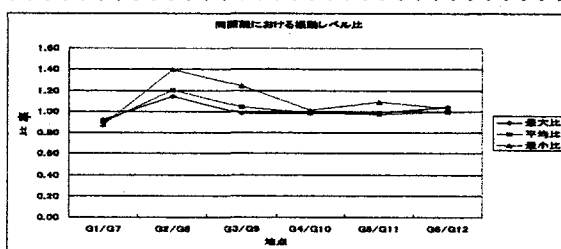


図 3 同距離における振動レベル比

4. 周波数分析

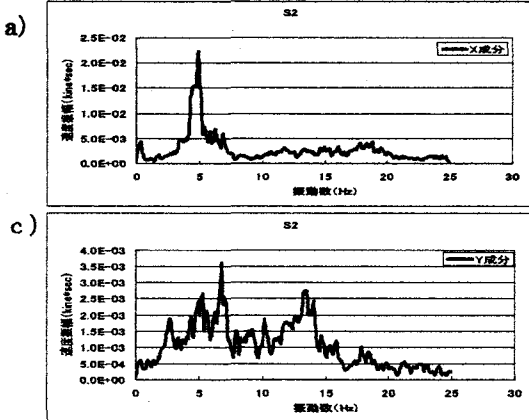


図 4 測点 S 2 のスペクトル分析結果

(a : X成分、b : Y成分、c : Z成分)

の傾向は見られなかったため、大型車からの振動特性であることが判断できる。

図 1 の緑色の測点を対応測点で除すことにより、両ラインでの振動レベルの違いを図 3 で検討した。この結果から G2/G8 の比率が高い傾向を示した。この問題を解消するために周波数分析を行った。

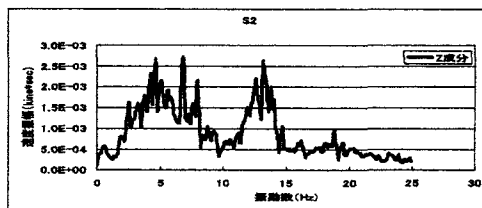


図 4 に測点 S 2 における大型車通過時のスペクトル分析結果を示す。この結果より、5Hz 付近に卓越振動数があることが理解できる。本調査地においては、この 5Hz 部分の卓越振動数は、地盤部分のスペクトル分析結果からは、読み取れなかつたため、橋脚固有の振動数であると判断できる。次に、10Hz 以上の振動数帯で卓越部分があることが理解できる。この振動数帯は、地盤部分にも共通して見られた。しかし、暗振動状態時には、こ

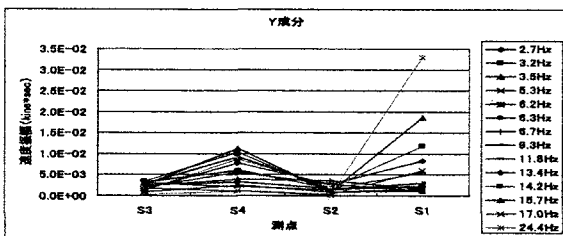


図 5 FFT 解析平滑化推移グラフ

4. 結論

1. 測点 G2 で、振動レベルが測点 G8 より大きかった理由としては、測点 S1 の P2 橋脚の長さが他の橋脚の半分（地表から 1.5m）であったことが考えられる。

2. 測点 S4 で増幅が見られた理由としては、測点 S4 の測点設置位置が床板の真下のフランジ部分に設置したためであると考えられる。

3. Y 成分と Z 成分において、測点 S4 から測点 S2、S3 に伝播した振動は、すぐに減衰する傾向が見られる。よって、床板から橋脚に伝播する過程で、ほとんどの振動数帯が約半分くらい減衰する。

<参考文献>

- (1) 社団法人 日本騒音制御工学会：地域の環境振動、(2001)、pp.7~9、pp.83~84
- (2) 清水博、足立義雄、辻靖三、根本守：道路環境、(1987)、pp.41~42、pp.199~205、pp.204~205